

Investigating Fracture Mechanism in Single Point Incremental Forming of AA5052 Aluminum Alloy using Bao-Wierzbicki Damage Model

Research Article

Ali Zahedi Dizajyekan¹ 

DOI: [10.22067/jacsm.2023.81834.1180](https://doi.org/10.22067/jacsm.2023.81834.1180)

1. Introduction

The incremental forming of sheet metal using CNC machines has grown significantly in the last decade, and with the clarification of different aspects of this process, it has attracted more attention from various industries of medical, automotive, and aerospace fields. The considerable flexibility of the process in the production of complex geometries and higher formability of sheets through the process have made it more interesting among researchers. On the concept of incremental forming, different types of the process were developed. Meanwhile, the most common and flexible form of the process is Single Point Incremental Forming (SPIF). The deformation mechanisms in this process are different compared to the similar processes such as deep drawing and spinning. Revealing deformation mechanisms through the forming process and exploring the reasons behind the increased formability attracted many efforts to this field.

The aim of this study was to investigate the formability of aluminum alloy 5052 sheet in SPIF process using the maximum possible forming depth which is called fracture height. To do so, a series of experiments were conducted to evaluate the fracture height of two different geometries. Moreover, in line with the laboratories efforts, numerical simulations of the process were performed in ABAQUS finite element environment. To predict the fracture initiation, the well-known Bao-Wierzbicki damage criterion was developed and the code was introduced to using VUMAT subroutine.

2. Experiments

In order to determine the elastic and plastic properties of aluminum sheet as well as to calibrate the damage criterion, uniaxial tensile tests were used in three directions of rolling, 45 degrees with rolling and perpendicular to rolling direction. The Swift hardening law were fitted through the acquired data points to calibrate the hardening model constants.

Simple geometries usually were selected to study the process. Two geometries of truncated cone and truncated pyramid with variable wall angle were opted. As Figure 1 shows, the wall angle at the beginning of the process is 30

degrees, and if the geometry is formed to the final height, this angle reaches 85 degrees.

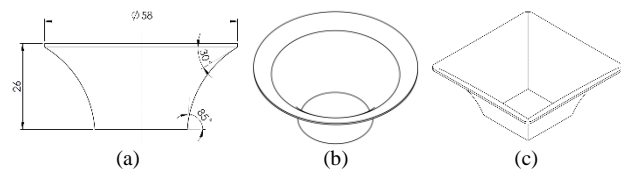


Figure 1. Designed geometries (a) Generatrix of the geometries, (b) Truncated Cone, (c) Truncated Pyramid

The tests were performed using a three-axis CNC machine and as shown in Figure 2, 100 mm in 100mm aluminum blanks were placed between two clamping plates and restricted to draw in. Considering 0.5mm vertical step size, Inventor software was used to export the tool path to form the geometries which directly introduced to the CNC machine. A hemispherical tool with 5mm radius formed the blanks.



Figure 2. SPIF experiments

3. Numerical analysis

ABAQUS Explicit solver was used for the numerical analysis of the process. In order to simplify and reduce the analysis time of the process, only three components of the sheet, the forming tool, and the back plate were modeled. Moreover, C3D8R element was used in the meshing the sheet as the only deformable body. Based on the sensitivity analysis of the mesh size, the size 0.5 was chosen for the elements in the forming area. The blank edges were constrained to prevent any movement and also the forming tool followed exactly the utilized tool path in the

*Manuscript received: April 8, 2023. Revised, June 7, 2023, Accepted, August 4, 2023.

¹. Mechanical Engineering Department, University of Mohaghegh Ardabili, Ardabil, Iran. Email: azahedi@uma.ac.ir

experiments. Due to the large deformation in this process, ALE technique was used in sheet meshing. In order to reduce the computational cost, by keeping the ratio of kinetic energy to internal energy below 10%, the simulations were performed with time scaling of 40. The Hill'48 plasticity model incorporated into the B-W damage model and, the developed model was introduced to ABAQUS using VUMAT sub-routine. The modified swift hardening rule and the plasticity model are presented in Equation 1 and Equation 2, respectively.

$$\sigma = \begin{cases} k(\varepsilon_0 + \bar{\varepsilon}_p)^n \\ qk(\varepsilon_0 + \bar{\varepsilon}_p)^n + (1-q)\bar{\sigma}_{UTS} \end{cases} \quad (1)$$

$$\sigma_{eq} = [F(\sigma_{11} - \sigma_{22})^2 + G(\sigma_{22} - \sigma_{33})^2 + H(\sigma_{33} - \sigma_{11})^2 + 2L\sigma_{23}^2 + 2M\sigma_{31}^2 + 2N\sigma_{12}^2]^{1/2} \quad (2)$$

The element deletion technique is used in the numerical simulations. Accordingly, the damage value (D) is calculated through the process and, as D reaches one, the element will eliminate from the FE model. The formulation of the D and the fracture strain based on the B-W damage model are presented below:

$$D_c = \int_0^{\bar{\varepsilon}_f} \frac{d\bar{\varepsilon}_p}{\bar{\varepsilon}_f(\eta)} \quad (3)$$

$$\bar{\varepsilon}_f = \frac{c}{3\eta} \quad (4)$$

4. Results and discussion

The maximum possible forming height is considered to evaluate the formability of sheets and, as presented in Figure 1, this parameter is directly related to the maximum forming wall angle. Laboratory tests showed that AA5052 aluminum sheet is not capable of forming up to the final height of 25 mm and will fracture sooner. Figure 3 shows the height of fracture corresponding to each geometry to make possible the comparison with the results of numerical simulations.

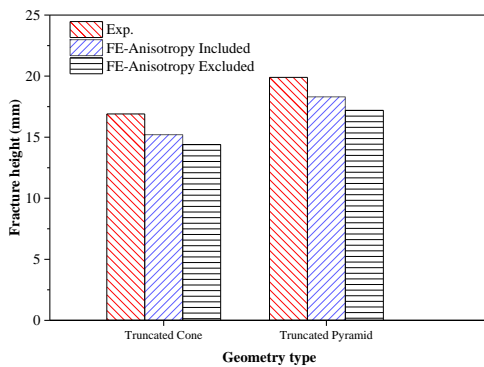


Figure 3. Comparison of fracture height in experimental tests with numerical simulation in two situations with and without consideration of sheet anisotropy

The results showed that the average forming height of truncated pyramid and truncated cone were 19.9 mm and 16.9 mm, respectively. On the other hand, using the numerical model, the fracture height was obtained in two

cases: (a) by applying sheet anisotropy in the B-W damage model; (b) without applying anisotropy in the B-W damage model. In this way, in case (a), the fracture heights of two geometries, truncated pyramid and truncated cone, were predicted with 8% and 10% accuracy, respectively. In case (b) and assuming that the sheet is isotropic, the simulation of the process was carried out until failure. Considering this assumption, the yield model used for the sheet will be Von Mises. In this case, the prediction accuracy reduced to 15% and 14% for two geometries, truncated pyramid and truncated cone. According to these results it can be said that in the investigated geometries, considering the sheet anisotropy has improved the prediction accuracy by 4.5%.

Due to the increasing wall angle of the designed geometries, with the increase of the forming depth and advancement of the tool, the level of plastic strains in the sheet increases (Figure 4) and the sheet shows more deformation against the forming forces. Due to the direct relationship between damage size and plastic strains, the damage accumulated in the sheet elements gradually increases. This happens to all elements of the sheet but with different intensity. For example, according to Figure 4, three different elements at three different heights of the forming geometry were selected to show these changes. Figure 4 shows the changes in the plastic strain of the elements with the increase of the forming depth. As can be seen, the level of plastic strains increases step by step with the progress of the process.

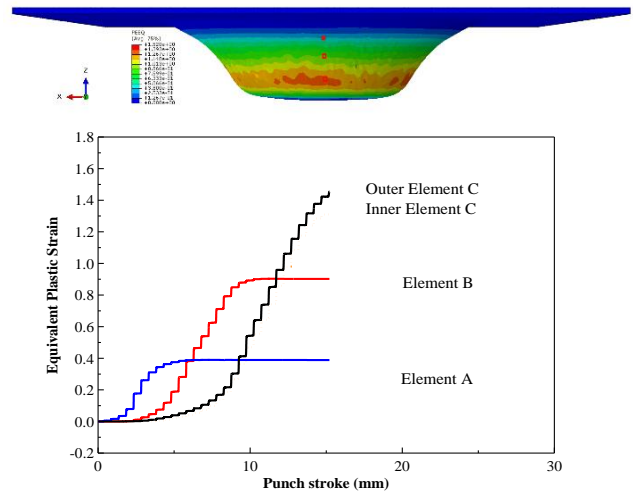


Figure 4. Variation of plastic strain in three different locations during the process until the damage initiation instance

5. Conclusion

The results showed that the B-W damage model has a good ability to predict failure in the SPIF process, so that the fracture height of the studied geometries predicted 9% lower than the experimental results. Moreover, without applying the anisotropy of the sheets and considering the Von-Mises yield criterion for the plasticity behavior of the sheet, the accuracy of predicting the results dropped by 5%. The analysis of stress and strain distribution in deformed geometries showed that sheet failure starts from the outer surface and then propagates to the inner layers.



تحلیل مکانیزم شکست در فرایند شکل دهی تدریجی تک نقطه‌ای ورق آلومینیومی AA5052 با معیار آسیب بائو-ویرزبکی*

مقاله پژوهشی

علی زاهدی دیزج یکان^(۱)

DOI: 10.22067/jacsm.2023.81834.1180

چکیده شکل دهی تدریجی ورق فلزی یکی از روش های مورد توجه شکل دهی ورق است که اعمال موضعی نیروهای شکل دهی و عدم حضور قالب مادگی در آن، باعث افزایش حد شکل پذیری ورق و افزایش انعطاف پذیری این فرایند در تولید هندسه های پیچیده می شود. در پژوهش حاضر، از دیدگاه مکانیک آسیب، یکی از ویژگی های بارز این فرایند یعنی حدود شکل پذیری بر روی ورق آلومینیومی AA5052 مورد بررسی قرار گرفته است. برای این منظور، ابتدا مدل آسیب بائو-ویرزبکی در قالب زیر برنامه VUMAT به نرم افزار آباکوس معرفی شد. ثابت های مدل آسیب، مدل سخت شونده گی و مدل تسلیم هیل ۴۸ با استفاده از آزمایش های کشش تک محوری در سه راستای نورد، 45° با راستای نورد و عمود بر راستای نورد برای ورق آلومینیومی کالیبره شد. به منظور بررسی شکل پذیری ورق، از هندسه های مخروط ناقص و هرم ناقص با زاویه دیواره های متغیر افزایشی استفاده شد و آزمایش های تجربی و شبیه سازی فرایند در نرم افزار آباکوس انجام گردید. با استفاده از توزیع کرنش و تنش، پدیده شکست و نحوه شروع آن تشریح گردید. نتایج نشان می دهد که ورق فلزی قبل از این که به ارتفاع نهایی طراحی شده برای دو هندسه برسد، دچار شکست می شود به طوری که برای هندسه هرم ناقص و مخروط ناقص ارتفاع شکست به ترتیب برابر 19.9mm و 16.9mm می باشد. با توجه استخراج خواص ناهمسانگردی ورق و استفاده از آن در شبیه سازی فرایند، ارتفاع شکست نمونه ها با دقت میانگین ۹٪ پیش بینی گردید و نتایج نشان داد بدون در نظر گرفتن ناهمسانگردی ورق ها، دقت پیش بینی ارتفاع شکست ورق افت می کند. همچنین انطباق قابل قبولی در پیش بینی محل شروع شکست به دست آمد.

واژه های کلیدی شکل دهی تدریجی ورق، معیار آسیب، المان محدود، تحلیل تنش.

Investigation of Fracture Mechanism in Single Point Incremental Forming of AA5052 Aluminum Alloy Using the Bao-Wierzbicki Damage Model

Ali Zahedi Dizajeykan

Abstract Incremental sheet metal forming is one of the promising sheet forming processes, in which local nature of the applied forming forces and independency of the process on the die, induces higher formability in the sheet and increases flexibility of the process in producing intricate geometries. In current study, from damage mechanics window, one of the prominent features of the process, i.e. forming limits of AA5052 sheets has been investigated. For this purpose, firstly, Bao-Wierzbicki damage model is coded and implemented into Abaqus finite element program via VUMAT subroutine. The constants of the damage model, hardening model and Hill48 yield model have been obtained utilizing the uniaxial tensile experiments in three directions of 0° , 45° and 90° with respect to rolling direction. To examine the formability, truncated cone and pyramid geometries with variable increasing wall angles have been considered and the experimental tests and simulation of the process were conducted. Using the stress and strain distribution, fracture phenomena and onset of fracture were described. The results show that the sheet metal fractures before it reaches the designed final height, so that for the geometries of truncated pyramid and truncated cone, the fracture height is obtained 19.9 mm and 16.9 mm, respectively. Considering the sheet anisotropy properties in the process simulation, the fracture height of specimens was predicted with an average accuracy of 9%, and the results reveal that with excluding the anisotropy properties of the sheets, the prediction accuracy decreases. Also, an acceptable agreement was obtained in predicting the fracture location.

Key Words Incremental sheet forming, Damage model, Finite element, Stress analysis.

* تاریخ دریافت مقاله ۱۴۰۲/۱/۱۹ و تاریخ پذیرش آن ۱۴۰۲/۴/۱۳ می باشد.

Email: azahedi@uma.ac.ir

(۱) نویسنده مسئول، استادیار، مهندسی مکانیک، دانشگاه محقق اردبیلی.

مقدمه

شکل‌دهی ورق‌های فلزی با استفاده از ماشین‌های کنترل عددی، در دهه اخیر رشد قابل ملاحظه‌ای داشته است و با روشن شدن زوایای مختلف این فرایند بیشتر مورد توجه صنایع مختلف در حوزه‌های ساخت تجهیزات پزشکی، خودرو و هوافضا قرار گرفته است. انعطاف‌پذیری بالای فرایند در تولید هندسه‌های پیچیده و حذف زمان و هزینه‌های مربوط به ساخت قالب‌های مربوط، جذابیت این روش شکل‌دهی ورق را مخصوصاً در تیراژ تولید دسته‌ای (batch production) محصولات ورق فلزی دو چندان کرده است. با توجه به کاربرد مورد نظر، در مواردی از سنبه‌ای با شکل عمومی در محفظه شکل‌دهی ورق استفاده می‌شود که به شکل‌دهی تدریجی دوقطه‌ای (Double Sided Incremental Forming) (DSIF) شناخته می‌شود. در این حالت انتظار توزیع یک‌نواخت‌تر ضخامت در دیواره‌های شکل‌دهی هندسی مد نظر وجود دارد. با این حال شکل متداول و منعطف فرایند، شکل‌دهی تدریجی تک‌نقطه‌ای ورق (Single Point Incremental Forming) (SPIF) است که بدون هیچ قالب نری می‌باشد و مسیر ابزار شکل‌دهی تعیین‌کننده شکل نهایی محصول است.

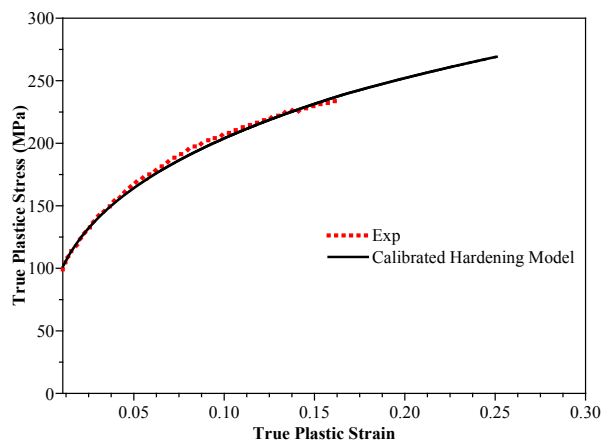
مکانیزم‌های تغییر شکل در این فرایند متفاوت با فرایندهای مشابه مانند کشش عمیق و یا چرخکاری است؛ این تفاوت‌ها از یک سو و بهبود شکل‌پذیری ورق فلزی از سوی دیگر توجه محققان زیادی را در سال‌های اخیر به این فرایند جلب کرده است. ایمنز و همکاران [1] در سال ۲۰۰۹ مکانیزم‌های تغییر شکل ورق در فرایند شکل‌دهی تدریجی را با استفاده از آزمایش‌های تجربی بررسی کردند. در این پژوهش، اعمال تدریجی نیروهای تغییر شکل و همچنین خمش موضعی ورق حول ابزار شکل‌دهی، دو عامل اصلی در افزایش شکل‌پذیری معرفی شده است. سیلوا و همکاران [2] در سال ۲۰۱۱ در طی آزمایش‌های تجربی نشان دادند که در شعاع‌های پایین ابزار، قبل از شروع شکست گلوبی شدن اتفاق نمی‌افتد و همین عامل را به همراه نرخ رشد پایین آسیب انباشته دلیلی بر زیاد بودن شکل‌پذیری فرایند SPIF در شعاع‌های پایین دانستند؛ ماهوترا و همکاران [3] در سال ۲۰۱۲ به بررسی مکانیک شکست در فرایند SPIF با استفاده از مدل شکست نرم ژو (Xue) پرداختند. با استفاده از این مدل، گلوبی شدن قبل از وقوع شکست در ورق آلومینیومی AA1050 در

شعاع‌های متداول ابزار بررسی شده است. غمدی (Ghamdi) و حسین [4] نشان دادند که با کاهش اندازه شعاع ابزار تا مقدار آستانه، فشار هیدرواستاتیک در زیر ابزار افزایش می‌یابد و رشد آسیب کمتر می‌شود. با کاهش اندازه شعاع ابزار از مقدار آستانه، با وجود افزایش فشار هیدرواستاتیک، نرخ تجمع آسیب بیشتر شده و شکل‌پذیری کاهش می‌یابد. میرنیا و شمسانی [5] رشد آسیب و شروع شکست در شکل‌دهی ورق‌های AA6061-T6 در فرایند شکل‌دهی تدریجی را با استفاده از مدل آسیب MMC3 بررسی کردند. در تحلیل عددی با در نظر داشتن تغییرات تنش سه محوری و پارامتر لود، تغییر شکل غیر خطی و افزایش شکل‌پذیری در این فرایند تشریح شده است.

محققان از مدل‌های مختلف رفتاری ماده در نواحی تسلیم و شکست استفاده کرده‌اند تا وضعیت شکل‌دهی و افزایش شکل‌پذیری در این فرایند را پیش‌بینی و تحلیل نمایند. ناپایداری و بروز شکست در این فرایند با استفاده از کمیت‌های تنش هیدرواستاتیک، پارامتر لود و کرنش شکست، پیش‌بینی و تحلیل شده است. طبق پژوهش زاهدی و همکاران [6] در سال ۲۰۱۵ شعاع ابزار شکل‌دهی و اندازه گام عمودی در فرایند SPIF دو پارامتر بسیار مهم در میزان شکل‌پذیری ورق‌های فلزی است که در محدوده کاری خود، هر قدر پایین‌تر باشند وضعیت شکل‌پذیری ورق بهبود خواهد یافت. گائتا و همکاران [7] در سال ۲۰۱۷ با در نظر گرفتن اثر تنش‌های برشی ضخامت و اصلاح مدل آسیب GTN، نشان دادند که رشد آسیب و شکل‌پذیری در فرایند SPIF علاوه بر وضعیت کرنش به وضعیت تنش‌ها نیز وابسته است و بدون در نظر گرفتن آن‌ها نمی‌توان پیش‌بینی قابل قبولی از شکل‌دهی در این فرایند به دست آورد. در مدل آسیب مناسب این فرایند می‌باید اثر تجمعی کرنش پلاستیک در نظر گرفته شود. گزمان و همکاران [8] در سال ۲۰۱۸ با استفاده از مدل آسیب GTN شکل‌دهی تدریجی ورق DC01 را مورد بررسی عددی قرار دادند، علی‌رغم حجم قابل توجه آزمایش‌های تجربی برای کالیبره کردن مدل آسیب، تطابق قابل قبولی بین ارتفاع شکست مجاز نتایج آزمایشگاهی و پیش‌بینی شده گزارش نشده است. کومار و همکاران [9] در سال ۲۰۲۲ از مدل اصلاح شده لمر برای پیش‌بینی وضعیت شکل‌دهی ورق AA1050 در این فرایند استفاده کردند. ایشان حداکثر زاویه شکل‌دهی در

۱mm انجام شده است. به منظور تعیین خواص الاستیک و پلاستیک ورق آلومینیومی و همچنین کالیبره کردن معیار آسیب از آزمون‌های کشش تک‌محوری در سه راستای نورد، ۴۵ درجه با نورد و عمود بر نورد استفاده شده است.

آزمایش‌های کشش تک‌محوری طبق استاندارد ASTM E08-04 و با طول گیج 50mm انجام شدند. هر آزمون کشش سه مرتبه تکرار گردید و با توجه به نزدیک بودن داده‌های هر سه آزمایش، میانگینی از آن‌ها جهت استخراج خواص مکانیک مورد نظر استفاده شد. همچنین جهت اندازه‌گیری ناهمسانگردی در هر راستا، طبق استاندارد ASTM E517 نرخ کرنش 0.5/min انتخاب شد و اندازه‌گیری‌ها در ازدیاد طول 20% صورت گرفت. با استفاده از داده‌های این آزمون‌ها، منحنی تنش-کرنش حقیقی ورق در راستای نورد طبق شکل (۱) به دست آمد. همچنین خواص مکانیکی ماده در جدول (۱) ارائه شده است.



شکل ۱ رفتار پلاستیک ورق AA5052 حاصل از کشش در راستای نورد (آزمایش تجربی و مدل سوئیفت کالیبره شده)

جدول ۱ خواص مکانیکی ورق آلومینیومی و ثابت‌های کالیبره شده آن

C	Q	$\bar{\sigma}_{UTS}$	k	ϵ_0	r	n
۰/۶۸۲	۰/۹۲	۲۰۰/۸	۴۱۹/۰	۰/۰۰۰۵	۰/۶۳۵	۰/۳۱۰

آزمون‌های شکل‌دهی تدریجی ورق

فرایند شکل‌دهی تدریجی محدودیت‌چندانی از نظر قابلیت تولید هندسه‌های پیچیده ندارد؛ اما در پژوهش‌های انجام شده در این

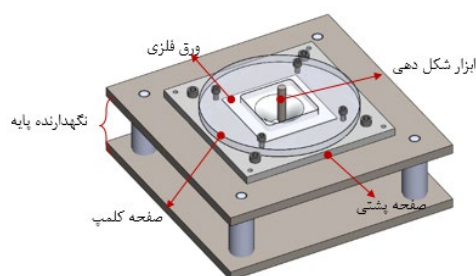
هندسه مخروط ناقص را با دقت قابل قبولی در مدل عددی به‌دست آوردند. اخیراً پنگ و کیو [10] در سال ۲۰۲۳ از آزمایش‌های تجربی دقیقی برای تبیین مکانیزم‌های تغییر شکل در هر دو نوع فرایند شکل‌دهی DSIF و SPIF استفاده کردند. همچنین آن‌ها با اصلاح مدل GTN و در نظر گرفتن ترم تنش برشی پیش‌بینی دقیق‌تری از حدود شکل‌دهی بر اساس شکست را در این فرایند ارائه کردند. با توجه به این‌که ناهمسانگردی ورق بر روی تنش‌های پسماند و برگشت فنری ورق مؤثر است نادیده گرفتن این خاصیت از ورق در شبیه‌سازی فرایندهای شکل‌دهی ورق می‌تواند منجر به بروز خطا در پیش‌بینی وضعیت نهایی شکل‌دهی شود. همچنین ناهمسانگردی ورق بر روی مقاومت ماده در برابر تغییر شکل و توزیع کرنش‌های ضخامتی مؤثر است و در فرایندهایی نظیر شکل‌دهی تدریجی ورق که توزیع ضخامت در طول دیواره هندسه شکل‌دهی یکسان نمی‌باشد می‌تواند در پیش‌بینی دقیق حداکثر ارتفاع شکل‌دهی و وقوع/عدم وقوع پدیده شکست ایفای نقش کند.

مرور پژوهش‌های انجام شده در این زمینه نشان می‌دهد تحقیقات محدودی بر روی اثر ناهمسانگردی ورق فلزی بر روی شکل‌پذیری ورق در فرایند شکل‌دهی تدریجی انجام شده است. از این جهت، در این مطالعه سعی شده است دانش بیشتری در این خصوص حاصل شود. برای این منظور فرم اصلاح شده‌ای از معیار آسیب بانو-ویرزبیک با در نظر گرفتن معیار تسلیم هیل ۴۸ ارائه شده است و مدل ماده به دست آمده از طریق زیر برنامه VUMAT به نرم‌افزار آباکوس معرفی شده است. با استفاده از آزمون‌های کشش تک‌محوری و روش هیبرید تجربی-عددی برای کالیبراسیون ثابت‌های مدل ماده برای ورق آلومینیومی AA5052 استفاده شده است. در ادامه فرایند شکل‌دهی تدریجی ورق مورد مطالعه به‌صورت دو هندسه متفاوت در محیط نرم‌افزار آباکوس شبیه‌سازی شد. بیشترین ارتفاع شکست به عنوان مبنای جهت ارزیابی شکل‌پذیری ورق در این فرایند گزارش شده و نتایج حاصل بررسی شده است.

آزمون‌های تجربی

آزمون‌های تعیین خواص مواد

این پژوهش بر روی ورق آلومینیومی AA5052 با ضخامت

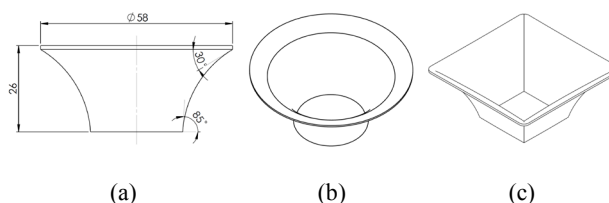


شکل ۳ اجرای آزمون‌های شکل‌دهی تدریجی تک‌نقطه‌ای ورق با دستگاه CNC

شبیه‌سازی عددی

به منظور تحلیل عددی فرایند از نرم‌افزار آباکوس استفاده شد. به منظور ساده‌سازی و کاهش زمان تحلیل فرایند، تنها سه جزو ورق، ابزار سر نیم کروی و صفحه پشتی مدل گردید و تنها ورق فلزی به صورت تغییر شکل‌پذیر تعریف شد. به این صورت از المان C3D8R در مش‌ریزی ورق استفاده شد. بر اساس آنالیز حساسیت به اندازه مش، اندازه ۰/۵ برای المان‌ها در محدوده شکل‌دهی انتخاب شد. همچنین جهت پیاده‌سازی شرایط آزمایش در مدل‌سازی عددی، جهت ایفای نقش صفحه کلمپ، لبه‌های ورق کاملاً مقید شدند؛ همچنین کد CNC استفاده شده در آزمون‌های تجربی با استفاده از شرایط مرزی ابزار شکل‌دهی، عیناً به نرم‌افزار آباکوس جهت حرکت آن معرفی شد. با توجه به تغییر شکل زیاد در این فرایند، از تکنیک ALE در مش‌زنی ورق استفاده گردید و همچنین جهت کاهش هزینه محاسباتی و با حفظ نسبت انرژی جنبشی به انرژی درونی زیر ۱۰٪، زمان اجرای فرایند ۴۰ برابر سریع‌تر از آزمون‌های تجربی لحاظ شده است. با توجه به هدف پژوهش، مدل رفتاری ماده در قالب زیر برنامه VUMAT کدنویسی شده و به نرم‌افزار معرفی گردید. در ادامه، مختصری از روابط به کار گرفته شده در این کدنویسی ارائه شده است.

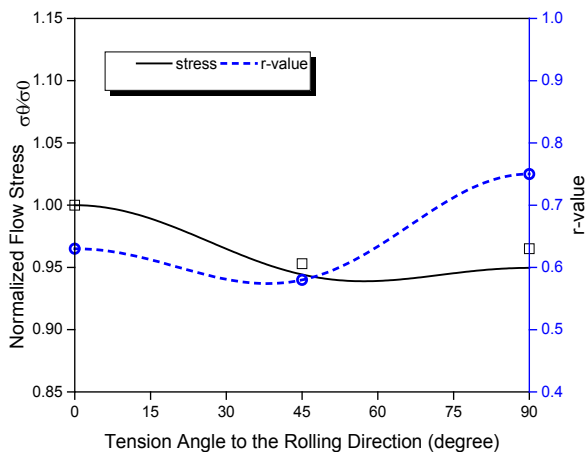
فرایند معمولاً هندسه‌های ساده انتخاب می‌شود. در مطالعه حاضر نیز دو هندسه مخروط ناقص و هرم ناقص با زاویه دیواره متغیر انتخاب شده است. همان‌طور که در شکل (۲) نشان داده شده است، زاویه دیواره در ابتدای فرایند ۳۰ درجه می‌باشد و در صورتیکه هندسه قابل شکل‌دهی تا ارتفاع نهایی باشد، این زاویه به ۸۵ درجه می‌رسد.



شکل ۲ (a) نمای دید از روبه‌روی هندسه‌های استفاده شده (ابعاد به میلی‌متر است). (b) هندسه مخروط ناقص با زاویه دیواره متغیر (c) هرم ناقص با زاویه دیواره متغیر

مجموعه پایه، صفحه پشتی و صفحه کلمپ مناسب جهت شکل‌دهی تدریجی ورق‌ها طراحی و ساخته شد و با استفاده از ابزار شکل‌دهی سر کروی به شعاع ۵mm آزمون‌های شکل‌دهی تدریجی با استفاده از ماشین‌ابزار CNC سه محوره انجام گرفت. اتصال صفحه کلمپ به صفحه پشتیان از طریق ۴ پیچ آلن M8 صورت می‌گیرد و ورق بین این دو صفحه محکم می‌شود. همچنین اتصال صفحه پشتیان به پایه، از طریق ۴ پیچ و مهره آلن M8 می‌باشد. مسیر حرکت ابزار با استفاده از نرم‌افزار Inventor برای گام عمودی ۰/۵ mm به دست آمده و وارد کنترلر ماشین‌ابزار شد. سرعت حرکت ابزار ۸۰۰mm/min بدون چرخش حول محور خود انتخاب گردید و جهت حذف اثرات نامطلوب اصطکاک و همچنین تشخیص به موقع شروع شکست، از روانکار مناسب (روغن هیدرولیک) استفاده گردید. لوح‌های مربعی در ابعاد ۱۰۰mm × ۱۰۰mm جهت آزمون‌های شکل‌دهی استفاده شد. در این فرایند، ورق‌ها بین صفحه پشتی و صفحه کلمپ کاملاً ثابت می‌شوند و بر خلاف فرایند شکل‌دهی کشش عمیق ورق، به داخل حفره ماتریس جریان پیدا نمی‌کنند. شماتیکی از ستاپ آزمایشگاهی و فرایند در حال اجرا در شکل (۳) نشان داده شده است.

بیشتری در برابر نازک‌شدگی از خود نشان می‌دهد. همچنین با توجه به مقدار کمتر از یک پارامتر ناهمسانگردی صفحه‌ای ورق AA5052، می‌توان انتظار داشت که در حالت کلی این ورق در برابر نازک‌شدگی در فرایندهای شکل‌دهی مقاومت کمتری از خود نشان دهد و زودتر دچار نازک‌شدگی و در نهایت پارگی یا شکست گردد.



شکل ۴ خواص ناهمسانگردی پیش‌بینی شده و به‌دست آمده ورق AA5052 در سه زاویه نورد، ۴۵ درجه با نورد و عمود بر نورد

قانون سخت‌شوندگی

با توجه به این‌که در آزمایش‌های شکل‌دهی تدریجی ورق، کرنش‌های پلاستیک اعمال شده بر روی ورق، معمولاً به بیش از کرنش گلوبی در آزمایش تک‌محوری می‌رسد، به منظور مدل‌سازی دقیق رفتار ماده، مدل سخت‌شوندگی در نظر گرفته شده، باید رفتار پلاستیک ماده بعد از کرنش گلوبی آزمون کشش تک‌محوری را نیز در بر بگیرد. برای این منظور و افزایش دقت پیش‌بینی کرنش‌های شکل‌دهی، با الهام از مرجع [11] معادله سویتف، طبق رابطه (۴-۱) برای کرنش‌های بالاتر از کرنش گلوبی بازبینی گردید. در این اصلاح مدل، رفتار پلاستیک ماده در کرنش‌های بالاتر از کرنش گلوبی به صورت ترکیب خطی از رفتار ماده همراه با کرنش سختی و بدون کرنش سختی به صورت رابطه (۳) ارائه شده است.

$$\sigma = \begin{cases} k(\epsilon_0 + \bar{\epsilon}_p)^n \\ qk(\epsilon_0 + \bar{\epsilon}_p)^n + (1-q)\bar{\sigma}_{UTS} \end{cases} \quad (3)$$

در این رابطه n توان کرنش سختی ورق، ϵ_0 پیش‌کرنش، $\bar{\epsilon}_p$ کرنش پلاستیک، k ضریب استحکام، $\bar{\sigma}_{UTS}$ تنش استحکام نهایی

مدل رفتاری ماده

معیار تسلیم

در شبیه‌سازی‌های عددی برای بیان حد تسلیم ورق، از معیار تسلیم هیل ۴۸ طبق فرمولاسیون رابطه (۱) استفاده شد.

$$\sigma_{eq} = [F(\sigma_{11} - \sigma_{22})^2 + G(\sigma_{22} - \sigma_{33})^2 + H(\sigma_{33} - \sigma_{11})^2 + 2L\sigma_{23}^2 + 2M\sigma_{31}^2 + 2N\sigma_{12}^2]^{1/2} \quad (1)$$

در این رابطه σ_{ij} مؤلفه‌های تانسور تنش، σ_{eq} تنش مؤثر و ضرایب F و G و H و L و M و N مربوط به خواص ناهمسانگردی ورق می‌باشند؛ به طوری که اگر $F=G=H=1$ و مکانیکی یکسانی از خود نشان داده است و می‌توان آن را همسانگرد در نظر گرفت. در غیر این صورت این ضرایب را با استفاده از مقدار r_θ (نسبت کرنش عرضی به کرنش ضخامت) برای راستای θ نسبت به جهت نورد می‌توان طبق روابط زیر به‌دست آورد.

$$G = \frac{F}{r_{90}}, H = \frac{F}{r_0}, F = \frac{r_0}{r_0 + 1}$$

$$L = M = \frac{3}{2}, N = \frac{(r_0 + r_{90})(2r_{45} + 1)}{2r_{90}(r_0 + 1)} \quad (2)$$

جهت بیان ویژگی ناهمسانگردی ورق از رابطه $r = \frac{(r_0 + 2r_{45} + r_{90})}{4}$ که به عنوان ناهمسانگردی صفحه‌ای ورق شناخته می‌شود استفاده شده است. ضرایب ناهمسانگردی و نسبت تنش در راستای کشش به تنش در راستای نورد (σ_θ/σ_0) ، به دست آمده از آزمون‌های کشش تک‌محوری در سه راستای اشاره شده به صورت نموداری در شکل (۴) ارائه شده است. همان‌طور که مشاهده می‌شود در این شکل سایر مقادیر مربوط به ناهمسانگردی ورق در جهات مختلف به صورت نمودار پیش‌بینی که توسط معیار هیل به‌دست می‌آید، نشان داده شده است. با توجه به نتایج به‌دست آمده، معیار تسلیم هیل پیش‌بینی نزدیکی از رفتار پلاستیک ناهمسانگردی ورق دارد. بیشترین تنش تسلیم ورق در راستای نورد به‌دست آمده است و طبق نمودار تغییرات، کمترین مقدار آن در نزدیکی زاویه ۴۵ درجه با راستای نورد رخ می‌دهد. منحنی تغییرات ضریب ناهمسانگردی نشان می‌دهد که ورق در حالتی که با راستای نورد زاویه ۹۰ درجه داشته باشد مقاومت

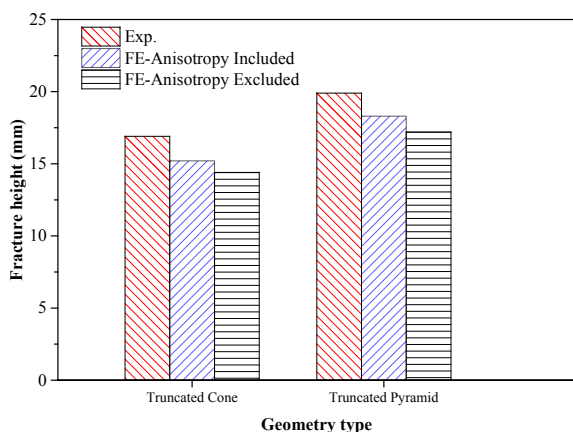
در این رابطه t_0 ضخامت اولیه ورق، t_f ضخامت ورق بعد از شکست و n توان کرنش سختی آن است. همان‌طور که دیده می‌شود، در مدل کلاسیک B-W اثر پارامتر لود بر روی کرنش شکست در نظر گرفته نشده است.

ارائه نتایج و بحث

پیش‌بینی عمق پارگی به‌دست آمده از شبیه‌سازی المان محدود با مدل آسیب، زمینه خوبی را برای تحلیل تغییر شکل و شکست در فرایند شکل‌دهی تدریجی مهیا می‌کند. نتایج حاصل از آزمایش‌های تجربی در کنار تحلیل المان محدود فرایند در سه قسمت ارائه می‌گردد.

ارتفاع شکست

یکی از معیارهای ارزیابی شکل‌پذیری ورق‌ها در فرایند شکل‌دهی تدریجی حداکثر ارتفاع قابل شکل‌دهی است؛ همان‌طور که در شکل (۲) ارائه شد، این پارامتر در ارتباط مستقیم با بیشترین زاویه دیواره قابل شکل‌دهی می‌باشد. آزمون‌های آزمایشگاهی نشان دادند که ورق آلومینیومی AA5052 قابلیت شکل‌دهی تا ارتفاع نهایی ۲۵mm را ندارد و زودتر از آن دچار شکست می‌شود. به منظور مقایسه‌ای با نتایج حاصل از شبیه‌سازی‌های عددی، ارتفاع شکست مربوط به هر هندسه در شکل (۵) ارائه شده است.



شکل ۵ مقایسه ارتفاع شکست در آزمایش‌های تجربی با شبیه‌سازی عددی با معیار آسیب B-W در دو وضعیت با و بدون در نظر گرفتن ناهمسانگردی ورق

طبق نتایج به‌دست آمده، میانگین ارتفاع شکل‌دهی هندسه‌های

و q عدد ثابت جهت کالیبره کردن مدل سخت شونده‌گی با نتایج تجربی است.

معیار آسیب

به منظور پیش‌بینی وقوع آسیب از معیار شناخته شده آسیب بائو-ویرزیککی (B-W) استفاده شده است. محاسبه پارامتر متغیر آسیب در این معیار، از رابطه کلی (۴) تبعیت می‌کند:

$$D_c = \int_0^{\bar{\epsilon}_f} \frac{d\bar{\epsilon}_p}{\bar{\epsilon}_f(\eta)} \quad (4)$$

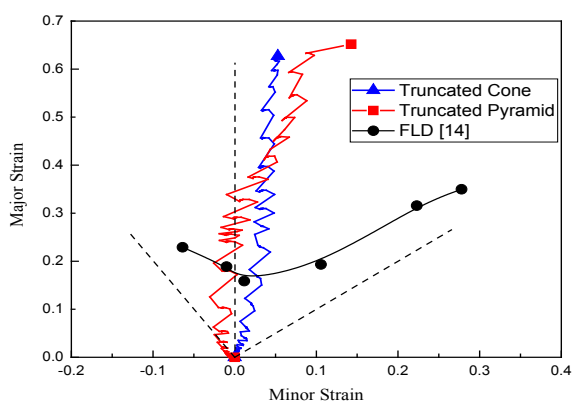
در این رابطه η تنش سه‌محوری می‌باشد ($\eta = \frac{\sigma_m}{\sigma_{eq}}$) و D_c اندیکاتور آسیب است و در زیربرنامه می‌توان مقدار بحرانی آن را تعریف کرد؛ به این صورت که اگر آسیب تجمعی در المانی به مقدار بحرانی برسد، آن المان از مدل حذف گردد و موقعیت بروز آسیب و شروع شکست مشخص شود. مدل B-W بر اساس مطالعه دقیق رفتار شکست ۱۵ نمونه مختلف که شرایط بارگذاری متفاوتی را داشتند به‌دست آمده است، اغلب نمونه‌ها دارای شرایط تنش صفحه‌ای بودند که مناسب برای بررسی‌های مربوط به شکل‌دهی فلزات است. طبق معیار آسیب بائو ویرزیککی، با تغییرات تنش‌های اعمالی به اغلب فلزات کرنش‌های شکست متناظر متناسب با آن‌ها تغییر نمی‌کند و به عبارتی، نمی‌توان گفت که در تمام شرایط بارگذاری، ارتباط یکسانی بین تغییرات کرنش شکست فلزات و تنش سه‌محوری وجود دارد. ایشان ارتباط بین کرنش شکست و تنش سه‌محوری را در قالب تابعی چندضابطه‌ای معرفی کردند. ضابطه‌ای از این معیار که می‌تواند در فرایندهای شکل‌دهی ورق کاربرد داشته باشد به‌صورت رابطه زیر ارائه شده است.

$$\bar{\epsilon}_f = \frac{c}{3\eta} \quad (5)$$

در این رابطه c ثابت ماده است و می‌توان با استفاده از داده‌های آزمون کشش تک‌محوری اندازه آن را به‌دست آورد. از طرفی برای به‌کارگیری این مدل آسیب برای ورق‌های ناهمسانگرد، باساک [12] با بررسی تغییر شکل المان‌ها از وضعیت اولیه تا وضعیت نهایی منجر به شکست، توانست رابطه (۶) را جهت تعیین مقدار این ثابت بر اساس ناهمسانگردی ورق به‌دست بیاورد:

$$c = \frac{2}{\sqrt{1+2r}} \ln \frac{t_0}{t_f} + 2n \left(1 - \frac{1}{\sqrt{1+2r}}\right) \quad (6)$$

شکل دهی در فرایند SPIF اختلاف قابل توجهی با فرایندهای شکل دهی سنتی برای ورق AA5052 دارند. ماهوترا [3] نشان داد که این اختلاف ناشی از فاصله قابل توجه گلوبی نفوذی و گلوبی موضعی در فرایند شکل دهی تدریجی است و البته مکانیزمهای شکل دهی در این افزایش مؤثر هستند. نکته دیگر غیر خطی بودن مسیر کرنش در فرایند شکل دهی تدریجی است که به وضوح برای هر دو هندسه مورد مطالعه در این شکل دیده می شود. با توجه به موضعی بودن نیروهای اعمالی در این فرایند، برخلاف فرایندهای شکل دهی سنتی، کرنش های اعمالی به هر ناحیه از ورق شامل بارگذاری و باربرداری می شود و سیکلی غیرخطی از کرنش های اعمالی را باعث می شود. حالت کرنش در دو هندسه مورد بررسی مابین دو وضعیت کرنش صفحه ای و کشش دوبعدی قرار گرفته است و البته دو المان مورد بررسی در وضعیتی نزدیک به کرنش صفحه ای قرار دارند. با توجه به این که هندسه مخروط ناقص در کل فرایند شکل دهی تغییری نمی کند می توان انتظار داشت که وضعیت کرنش المان های این هندسه نزدیک به همین وضعیت کرنش صفحه ای باشند؛ ولی در خصوص هندسه هرم ناقص، با توجه به حضور گوشه، وضعیت کرنش در گوشه ها به حالت کشش دو محوره نزدیک تر خواهد بود. به عبارتی دیگر، تأثیر هندسه در حدود شکل دهی مربوط به ایجاد مسیر کرنش های مختلف در هندسه های متفاوت می شود.



شکل ۶ مسیر کرنش المان بحرانی در مقایسه با حد شکل دهی ورق AA5052 به دست آمده از آزمون ناکاجیما

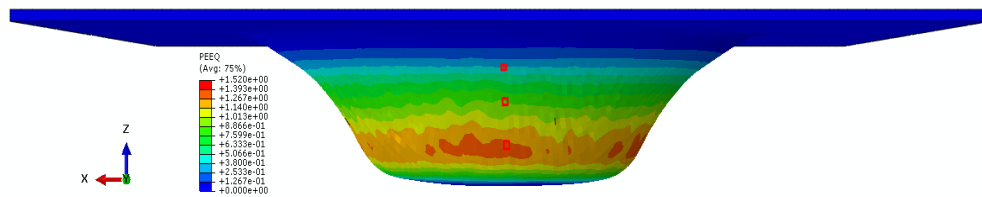
توزیع کرنش و تغییرات آن

با توجه به زاویه دیواره در حال افزایش هندسه های طراحی شده، با افزایش عمق شکل دهی و پیشروی ابزار، سطح

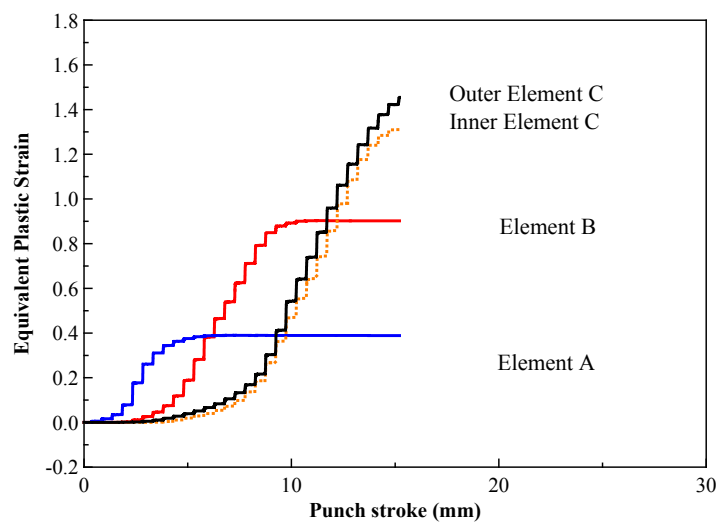
هرم ناقص و مخروط ناقص به ترتیب برابر $19/9\text{mm}$ و $16/9\text{mm}$ گردید. از طرفی با استفاده از مدل عددی ارتفاع مجاز شکل دهی در دو حالت به دست آمد: الف) با اعمال ناهمسانگردی ورق در مدل آسیب B-W، ب) بدون اعمال ناهمسانگردی در مدل آسیب B-W. به این صورت که در حالت الف) ارتفاع شکست دو هندسه هرم ناقص و مخروط ناقص به ترتیب با دقت 8% و 10% پیش بینی گردید. در حالت ب) و با فرض این که ورق همسانگرد است شبیه سازی فرایند تا بروز شکست اجرا گردید. در واقع با این فرض، مدل تسلیم استفاده شده برای ورق، ون میسر خواهد بود. در این حالت، دقت پیش بینی به مقادیر 15% و 14% برای دو هندسه هرم ناقص و مخروط ناقص تقلیل پیدا کرد. با توجه به این نتایج می توان گفت که در هندسه های مورد بررسی، در نظر گرفتن ناهمسانگردی ورق دقت پیش بینی نتایج را $4/5\%$ بهبود داده است. شایان ذکر است که در بررسی های انجام شده قبلی مانند پژوهش [5] و [12] دقت پیش بینی ارتفاع شکست برای هندسه های مختلف با اختلاف قابل توجهی نسبت به هم گزارش شده است. لذا دقت پیش بینی این مدل آسیب در پیش بینی وضعیت شکست را نمی توان بدون بررسی به هندسه های دیگر تعمیم داد. مطلب دیگری که در رابطه با نتایج حاصل می توان به آن اشاره کرد، تفاوت در ارتفاع شکست دو هندسه است. مسیر متفاوت ابزار در شکل دهی این دو هندسه، باعث شده است تا وضعیت کرنش اعمالی به ورق تابعی از مسیر ابزار و یا همان هندسه مدنظر باشد. در واقع همانند آزمایش های تعیین منحنی های FLD ورق که هندسه های مختلف، کرنش های حدی متفاوتی را به دست می دهند [13]؛ در این فرایند نیز هندسه های متفاوت می تواند مسیر های کرنش گوناگونی را باعث شود. لیکن استاندارد ISO 12004 مربوط به تعیین محدوده شکل پذیری ورق ها در فرایندهای شکل دهی سنتی، مختص این فرایند تدوین نشده است. برای بررسی بیشتر مسیر کرنش اولین المان محذوف دو هندسه در شکل (۶) ارائه شده است. همچنین همان طور که دیده می شود، منحنی حد شکل دهی ورق AA5052 با خواص مکانیکی مشابه به ورق مورد مطالعه در این پژوهش، از مرجع [14] به دست آمده و در این شکل آورده شده است. نتایج به دست آمده در این مطالعه نشان می دهد که حدود

بروز گلوئی موضعی می‌شود. با پیشروی فرایند و افزایش زاویه دیواره هندسه، ورق در معرض تغییر شکل بیشتری قرار می‌گیرد و افزایش اندازه کرنش‌های پلاستیک در المان C در هر مرحله عبور ابزار، در مقایسه با المان‌های قبل، بیشتر است. تجمع کرنش‌های پلاستیک در نهایت منجر به بروز گلوئی نفوذی و در نهایت شروع پارگی می‌شود. با توجه به بحرانی بودن المان C، تغییرات کرنش پلاستیک در سطح داخلی ورق در محل این المان نیز ترسیم شده است. همان‌طور که در شکل (۸) دیده می‌شود، اندازه کرنش در سطوح بیرونی و درونی متفاوت از یکدیگر است و در سطح بیرونی اندازه کرنش‌های پلاستیک بیشتری به دست می‌آید. این مطلب دلالت بر وجود گرادیان کرنش در راستای ضخامت در فرایند شکل‌دهی تدریجی است. این گرادیان با پیشرفت فرایند بیشتر می‌شود که نشان دهنده بالا بودن نرخ افزایش کرنش در سطح بیرونی ورق است.

کرنش‌های پلاستیک در ورق افزایش می‌یابد (شکل ۷) و ورق تغییر شکل بیشتری را از خود در برابر نیروهای شکل‌دهی نشان می‌دهد. با توجه به رابطه مستقیم اندازه آسیب و کرنش‌های پلاستیک، به تدریج آسیب انباشته در المان‌های ورق نیز افزایش می‌یابد. این اتفاق برای تمام المان‌های ورق اما با شدت متفاوت رخ می‌دهد. برای مثال، طبق شکل (۷) سه المان مختلف در سه ارتفاع متفاوت از هندسه شکل‌دهی جهت نمایش این تغییرات انتخاب گردید. شکل (۸) تغییرات کرنش پلاستیک المان‌ها را با افزایش عمق شکل‌دهی نشان می‌دهد. همان‌طور که دیده می‌شود سطح کرنش‌های پلاستیک با پیشروی فرایند به صورت پله‌ای افزایش می‌یابد. در واقع بعد از این که ابزار از محل مربوط به المان عبور می‌کند باعث افزایش یک سطح از کرنش پلاستیک در آن می‌شود. با فاصله گرفتن ابزار از محل المان، سطح کرنش‌های پلاستیک در آن المان ثابت می‌ماند و شرایط تغییر شکل اگر در محل آن المان (مانند المان B) شدید باشد باعث



شکل ۷ توزیع کرنش پلاستیک در مخروط ناقص با دیواره متغیر در لحظه قبل از شروع آسیب



شکل ۸ تغییرات کرنش پلاستیک در سه موقعیت متفاوت در طول فرایند تا لحظه شروع آسیب

توزیع تنش

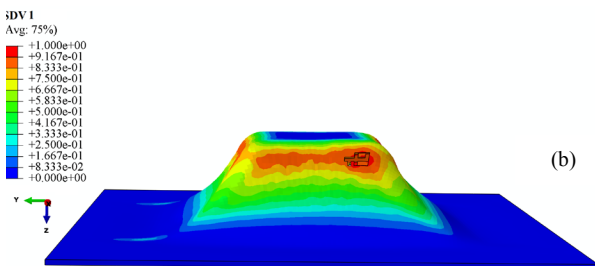
با توجه به ارتباط مابین تنش و کرنش شکست بررسی توزیع تنش در هندسه‌های تغییر شکل یافته حائز اهمیت است. شکل (۹) توزیع تنش سه‌محوری مخروط ناقص را در سطح بیرونی ورق نشان می‌دهد. لازم به ذکر است که تنش سه‌محوری در نقاط تماس ابزار با ورق قابل بررسی است و در سایر المان‌ها به دلیل وقوع برگشت فنری و یا حضور تنش‌های پسماند مفهوم فیزیکی خاصی را از روند تغییر شکل فرایند نمی‌رساند. از این روز مقادیر میانگین تنش سه‌محوری در موقعیت المان C در سطوح درونی و بیرونی به دست آمد و در شکل (۱۰) نشان داده شده است. مقادیر مثبت و منفی تنش سه‌محوری نشان دهنده گردایان تنش در راستای ضخامت ورق در این فرایند شکل‌دهی است که در نتیجه خمش موضعی ورق حول ابزار شکل‌دهی به وجود می‌آید. با نزدیک شدن ابزار به موضع المان مورد بررسی، سطح تنش‌ها بالاتر می‌رود و نوسانات تنش سه‌محوری نیز افزایش می‌یابد لیکن مقدار میانگین آن کاهش یافته و با توجه به رابطه عکس آن با کرنش شکست، شرایط شروع آسیب و حذف المان را پیش می‌آورد.

موقعیت شکست و وضعیت تنش و کرنش

علاوه بر بررسی وضعیت تنش و کرنش، موقعیت شروع آسیب نیز دارای اهمیت می‌باشد. از این رو در شکل‌های (۱۱) و (۱۲)، موقعیت شکست در فرایند SPIF دو هندسه مورد مطالعه نشان داده شده است. با توجه به ارتفاع شکست پیش‌بینی شده که در شکل (۵) ارائه شد، اختلاف ارتفاع پیش‌بینی را می‌توان تقریباً ضریبی از اندازه گام عمودی شکل‌دهی به حساب آورد. از این رو با این‌که ارتفاع شکل‌دهی کمتر از آزمایش‌های تجربی پیش‌بینی شده است، اما موقعیت شروع شکست را می‌توان گفت که با دقت خوبی به دست آمده است که در شکل (۱۱) برای هندسه هرم ناقص و در شکل (۱۲) برای مخروط ناقص نشان داده شده است.



(a)



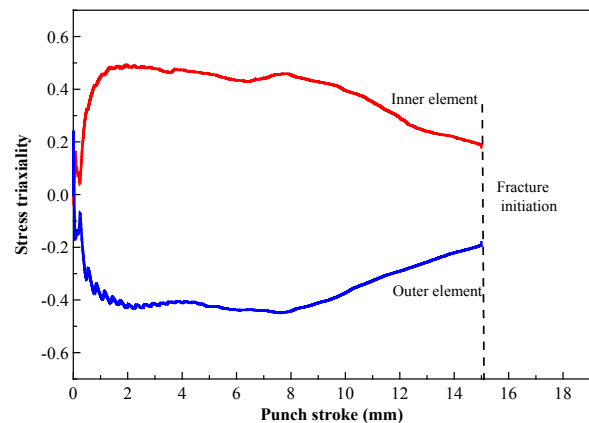
(b)

شکل ۱۱ مقایسه موقعیت شروع شکست (a) هرم ناقص حاصل از آزمایش‌های تجربی و (b) توزیع آسیب در هرم ناقص حاصل از شبیه‌سازی عددی



شکل ۹ توزیع تنش سه‌محوری در هندسه مخروط ناقص در یک فریم مانده با شروع شکست

نتایج المان محدود نشان می‌دهد، توزیع کرنش‌ها بر روی دیواره هندسه‌ها، غیرمتقارن می‌باشد و کرنش در راستای ابزار، افزایشی است. با پیشرفت فرایند شکل‌دهی، کرنش‌ها افزایش می‌یابد، ولی با نزدیک شدن به کف قطعه (قسمتی که تغییر شکل پیدا نمی‌کند) اندازه کرنش‌ها، به صورت کاهشی تغییر می‌کند. توزیع ضخامت بر روی هندسه قطعه نیز غیرمتقارن است. در صورتی که از این فرایند برای تولید قطعه استفاده شود، باید این موارد غیریکنواختی در دیواره‌های قطعه باید در نظر گرفته شود.



شکل ۱۰ میانگین تنش سه‌محوری در سطح درونی و بیرونی المان C تا شروع شکست

بررسی بیشتر فرایند، از تحلیل عددی فرایند شکل‌دهی در نرم‌افزار آباکوس استفاده گردید. در این راستا، از مدل آسیب بائو-ویرزبیک، مدل سخت‌شوندگی سوئیفت و معیار تسلیم هیل ۴۸ جهت مدل‌سازی رفتار مکانیکی ماده استفاده شد. نتایج قابل توجهی از رفتار شکل‌پذیری ورق در این مطالعه به دست آمد که می‌توان در قالب موارد زیر خلاصه کرد:

۱. با استفاده از آزمون‌های کشش تک‌محوری، ناهمسانگردی ورق ۰/۶۳۵ به دست آمد و نتایج نشان داد که معیار هیل ۴۸ پیش‌بینی خوبی از رفتار ناهمسانگردی ورق می‌تواند ارائه نماید.

۲. ارتفاع شکست آزمون‌های SPIF در هندسه‌های هرم و مخروط ناقص با زاویه دیواره متغیر به ترتیب ارتفاع ۱۹/۹mm و ۱۶/۹mm به دست آمد. حد ارتفاع متفاوت شکل‌دهی این دو هندسه، مربوط به هندسه متفاوت و در نتیجه بروز متفاوت تنش و کرنش است.

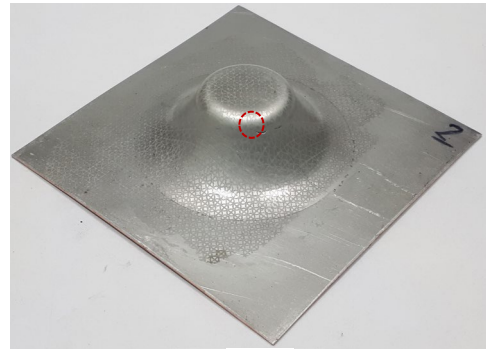
۳. نتایج نشان می‌دهد که مدل آسیب B-W توانایی خوبی در پیش‌بینی شکست در فرایند SPIF دارد به طوری که ارتفاع شکست هندسه‌های مورد مطالعه با اختلاف میانگین ۹٪ پایین‌تر از نتایج تجربی پیش‌بینی شده است.

۴. بدون اعمال ناهمسانگردی ورق‌ها و با در نظر گرفتن معیار تسلیم ون-میسز برای رفتار پلاستیسته ورق، دقت پیش‌بینی نتایج ۵٪ افت داشته است.

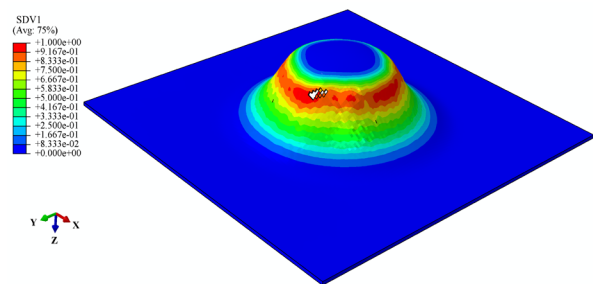
۵. تحلیل توزیع تنش و کرنش در هندسه‌های تغییر شکل یافته نشان دهنده این است که شکست ورق از سطح بیرونی شروع می‌شود و سپس به سطوح درونی گسترش می‌یابد.

۶. نتایج عددی به دست آمده از مسیر کرنش‌های تغییر شکل یافته، دلالت بر بارگذاری غیرخطی در این فرایند دارد. همچنین مقایسه با نتایج چاپ شده، نشان دهنده بالاتر بودن کرنش‌های حادی در این فرایند نسبت به فرایند‌های شکل‌دهی سنتی است.

۷. محل شروع شکست در ارتفاعی بالاتر از کف هندسه تغییر شکل یافته و در محل تجمع آسیب رخ می‌دهد. نتایج نشان می‌دهد پیش‌بینی مدل عددی از این محل منطبق بر نتایج آزمایش‌های تجربی است.



(a)



(b)

شکل ۱۲ مقایسه موقعیت شروع شکست (a) مخروط ناقص حاصل از آزمایش‌های تجربی و (b) توزیع آسیب در مخروط ناقص حاصل از شبیه‌سازی عددی

همچنین شایان ذکر است که با توجه به ضخامت ورق و افزایش شعاع خم در لایه بیرونی، ناپایداری ورق از لایه بیرونی ورق شروع می‌شود و به سمت لایه داخلی حرکت می‌کند و در نهایت منجر به حذف المان و شروع ترک می‌شود. در واقع علاوه بر کرنش‌های صفحه‌ای، کرنش ضخامتی نیز در این فرایند نقش قابل توجهی در حد شکل‌دهی ورق ایفا می‌کند و به این دلیل مشاهده می‌شود که المان‌هایی که بیشترین سطح از کرنش‌های صفحه‌ای دارند المان‌های آغازین برای شروع شکست نیستند و مجموع شرایط بارگذاری است که این مسئله را تعیین می‌کند.

نتیجه‌گیری

در پژوهش حاضر شکل‌پذیری ورق آلومینیومی آلیاژی AA5052 در فرایند SPIF مورد بررسی قرار گرفت. به این منظور ارتفاع شکست ورق در طی این فرایند شکل‌دهی به عنوان معیاری از شکل‌پذیری ورق در نظر گرفته شد. به منظور

فهرست علائم	علائم انگلیسی	واژه نامه
ϵ_0	پیش کرنش	ناهمسانگردی صفحه‌ای
$\bar{\epsilon}_f$	کرنش پلاستیک شکست	ضخامت اولیه، mm
σ_{ij}	مولفه‌های تانسور تنش، MPa	ضخامت نهایی، mm
σ_m	تنش میانگین، MPa	
$\bar{\sigma}_{UTS}$	تنش استحکام نهایی، MPa	
σ_{eq}	تنش معادل هیل ۴۸، MPa	
η	تنش سه محوری	قانون سخت شوندگی
C	ثابت ماده	تنش سه محوری
D_c	اندیکاتور آسیب	کرنش صفحه ای
F, G, H, L, M, N	ضرایب معیار تسلیم هیل ۴۸	کشش دو بعدی
n	توان کرنش سختی	
k	ضریب استحکام، MPa	تقدیر و تشکر
Q	ثابت ماده	

مراجع

- [1] W. C. Emmens and H. V. D. Boogaard, "An overview of stabilizing deformation mechanisms in incremental sheet forming," *Journal of Materials Processing Technology*, vol. 209, no. 8, pp. 3688-3695, 2009.
- [2] M. B. Silva, P. S. Nielsen, N. Bay, and P. A. F. Martins, "Failure mechanisms in single-point incremental forming of metals," *The International Journal of Advanced Manufacturing Technology*, vol. 56, pp. 893-903, 2011.
- [3] R. Malhotra, L. Xue, T. Belytschko, and J. Cao, "Mechanics of fracture in single point incremental forming," *Journal of Materials Processing Technology*, vol. 212, no. 7, pp. 1573-1590, 2012.
- [4] K. a. Al-Ghamdi and G. Hussain, "Threshold tool-radius condition maximizing the formability in SPIF considering a variety of materials: Experimental and FE investigations," *International Journal of Machine Tools and Manufacture*, vol. 88, pp. 82-94, 2015.
- [5] M. J. Mirnia and M. Shamsari, "Numerical prediction of failure in single point incremental forming using a phenomenological ductile fracture criterion," *Journal of Materials Processing Technology*, vol. 244, pp. 17-43, 2017.
- [6] A. Zahedi, B. Mollaei-Darjani, and M. R. Morovvati, "Numerical and experimental investigation of single point incremental forming of two layer sheet metals," *Journal of Modares Mechanical Engineering*, (In Persian), vol. 14, no. 14, pp. 1-8, 2015.
- [7] S. Gatea, H. Ou, B. Lu, and G. McCartney, "Modelling of ductile fracture in single point incremental forming using a modified GTN model," *Journal of Engineering Fracture Mechanics*, vol. 186, pp. 59-79, 2017.
- [8] C. F. Guzmán, S. Yuan, L. Duchêne, E. I. Saavedra Flores, and A. M. Habraken, "Damage prediction in single point incremental forming using an extended Gurson model," *International Journal of Solids and Structures*, vol. 151, pp.

45-56, 2018.

- [9] A. Kumar, A. Kumar Singh, A. Shrivastava, S. Mishra, and K. Narasimhan, "Shear modified Lemaitre damage model for fracture prediction during incremental sheet forming," *International Journal of Solids and Structures*, vol. 252, pp. 111822, 2022.
- [10] W. Peng and H. Ou, "Deformation mechanisms and fracture in tension under cyclic bending plus compression, single point and double-sided incremental sheet forming processes," *International Journal of Machine Tools and Manufacture*, vol. 184, p. 103980, 2023.
- [11] D. Mohr and S. J. Marcadet, "Micromechanically-motivated phenomenological Hosford–Coulomb model for predicting ductile fracture initiation at low stress triaxialities," *International Journal of Solids and Structures*, vol. 67-68, pp. 40-55, 2015.
- [12] S. Basak and S. K. Panda, "Failure strains of anisotropic thin sheet metals: Experimental evaluation and theoretical prediction," *International Journal of Mechanical Sciences*, vol. 151, pp. 356-374, 2019.
- [13] A. Zahedi, B. Mollaei Dariani, and M. J. Mirnia, "Experimental determination and numerical prediction of necking and fracture forming limit curves of laminated Al/Cu sheets using a damage plasticity model," *International Journal of Mechanical Sciences*, vol. 153-154, pp. 341-358, 2019.
- [14] Z. Cheng *et al.*, "Forming limit analysis of AA5052 sheet under bilinear strain path by designing a novel large-scale gripping fixture," *Journal of Materials Research and Technology*, vol. 22, pp. 2425-2439, 2023.